

스페클 포토그라피와 畫像處理에 依한 面内変位 計測

* 韓 應 教

** 角 誠之助

*** 金 庚 錫

1987년 3월 3일 접수

Measurement of In-plane Displacement by Speckle Photography and Image Processing

Han Eung Kyo Sumi Seinosuke Kim Koung Suk

ABSTRACT

Speckle photography is a very useful method for measuring in-plane surface displacement. In its basic form, the object to be studied is illuminated with a divergent laser beam, and a double exposure photograph of the object is recorded, on a fine-grain film or plate, before and after the object is deformed. The magnitude and the direction of the displacement can then be obtained by measuring the spacing and the direction of the Young's fringe, which is produced by probing the developed negative with an unexpanded laser beam, and consists of a pattern of parallel equi-spaced dark bands. In this paper, a hybrid optical and electronic image processing is described. Young's fringe on the viewing screen is observed by a TV-camera and the 2-D video signal is converted from analog to digital and transferred to the computer where the spacing and direction of the fringes are calculated. Several examples of application show that the displacement magnitude and direction can be determined with an accuracy of $0.1 \mu\text{m}$ and 0.1° , respectively.

* 漢陽大学校 教授

** 九州大学 航空工学科 教授

*** 漢陽大学校 大学院 精密機械工學科

NOMENCLATURE

- D : Amount of displacement in object plane
 F : Gap of fringe
 M : Photographing magnification
 L : Distance between object plane and screen
 R : Magnitude of scanning zone
 λ : wavelength of laser
 ds : Movement of speckle recording by double-exposure

1. 緒論

Laser光을 拡散反射面에 照射될 때 그反射面 안에 혹은, Lens로 結像된 物體面의 像안에 나타나는 작은 粒狀의 班点모양(模樣)을 Speckle 이라고 한다.

이것은 서로 不規則하며 그러나 時間的으로는 定常的인 位相關係에 있는 多数의 光波가 干涉하고 발생하는 수도 있다. 이 Laser speckle은 이미 實用化되어있는 holograph等에는 noise도 있지만 逆으로 이것을 利用하여 物體表面의 面内変位를 測定하는 方法이 最近注目을 받고 있다.¹⁾⁻³⁾ 이중의 代表的인것이 speckle Holography로 이 方法의 장점이라고 하면 粗面物體의 非接觸測定이 可能하고 全視野의 變位情報가 한장의 写真 film, 사진감광판에 記錄되며 測定感度는 그때의 結像倍率에 의해넓은 範囲도 調節되고 더욱이 光學系를 더없이 單純하게 하는것 등이었다. 이 方法으로 어떤點의 面内變位의 情報, 즉 變位의 크기와 方向을求하는 데에는 拡散 Laser光으로 照明된 物體面을 變形前後로 二重露光撮影하고 現像된 negative (speckle gram)에 Laser beam을 照射하고 그때 發生한 young's fringe라고 부르는 平行等間隔의 干涉 fringe의 간격과 方向을 測

定하면 좋다. 그러나 얻어지는 것은 beam이 照射된 specklegram上의 点에 對応하는 物體面위의 点의 變位情報로 되므로 物體의 全面에 이르는 變位分布를 求하는데는 specklegram上으로 beam을 상세하게 走査하면서 測定을 行할 必要가 있고 많은 시간을 必要로 한다. 또한 fringe의 간격은 變位量이 크게됨에 따라 역(逆)으로 적계하기 위함이며 目視에 의한 測定으로는 精度의 点에서 問題가 있고 더욱이 變位方向을 표시한 fringe 方向을 精度좋게 測定하는 것은 容易하지 않다. 이때문에 計測의 自動化가 여러가지 시도되고 있지만 우선 洩用性이 있는 方法은 發表되지 않고 있다. 本論文에서는 young's fringe를 TV camera로 二次元畫像으로 하여 그대로 収錄하고 變位의 크기와 方向도 計算機로 解析하는 畫像處理 system의 開發과 그 適用例에 대해서 報告한다.

2. Speckle holography

2-1 Speckle

Laser光을 拡散反射面에 照射하고 앞에 screen을 두면 明暗의 粒狀班点 즉 speckle로부터 反射 pattern이 생기지만 이것은 回折界的 Speckle Pattern이라고 부른다. 이때의 speckle의 크기는 $\sigma = 1.22\lambda L/R$ 로 λ 는 Laser波長, L은 物體面과 screen사이의 距離, R은 照射구역의 크기이다. Fig-1에 표시한 것처럼 Lens를 이용하여 Laser照射面을 結像 할때에는 物體像에 겹치게 speckle이 발생한다. 이것을 像界의 speckle이라고 부르며 그크기는 $\sigma = 0.61\lambda/\sin\beta$ 또는 $\sigma = 1.22(1+M)\lambda F$ 로 주어진다. M은 摄影倍率 F는 Lens의 f number이다

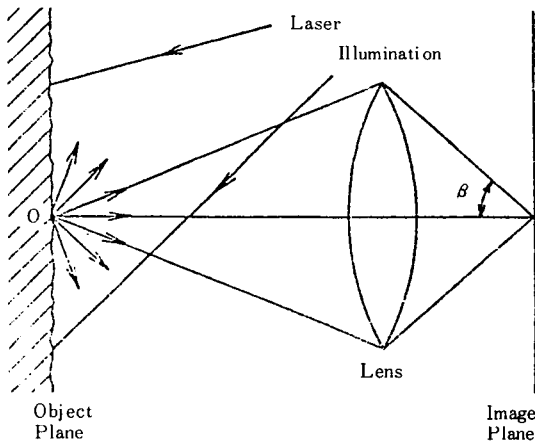


Fig. 1. Closing image system of image boundary speckle pattern

2-2 原理

(a) 結像系

像界 speckle pattern의 光學系에 있어서 像面의 位置에 写真 film 혹은 鍵盤을 설치하고 speckle photography의 結像系로 된다. 이것은 결국 camera로 Laser 照射面을 摄影하는 것과 다르지 않고 变形前後로 二重露光撮影을 하면 物體表面의 各点 面内変位를 speckle을 移動하고 記錄하는것이 可能하다. 露光, 現像된 negative (음화용의 flim) 가 specklegram이다.

(b) Young's fringe에 依한 変位計測

二重露光된 specklegram의 任意点에 가느다란 Laser beam을 照射하면 物體가 变形하기前의 speckle과 变形에따라 移動된 speckle은 二重 slit로하여 作用하고 young의 干涉fringe와 같은모양의 原理로 平用等間隔의 干涉fringe가 發生한다. 写真-1은 이一例이다.

지금, 物體面위의 変位量을 D 摄影倍率을 M이라하면 二重露光에 의해 記錄된 speckle의 移動量 ds와의 사이에는 다음 関係가 成立한다.

$$D = ds/M \quad \dots \dots \dots (1)$$

또 fringe 간격을 F라고 하면 다음式이 成立한

다.

$$F = \lambda L / ds \quad \dots \dots \dots (2)$$

(1)式, (2)式에 의해

$$D = \lambda L / FM \quad \dots \dots \dots (3)$$

따라서 fringe 間隔을 몇가지의 方法으로 計測하면 物體面의 変位量을 求할수 있다. 또한 干涉 fringe의 方向은 変位方向에 直交하는 것으로부터 変位方向도 同時에 求해진다.

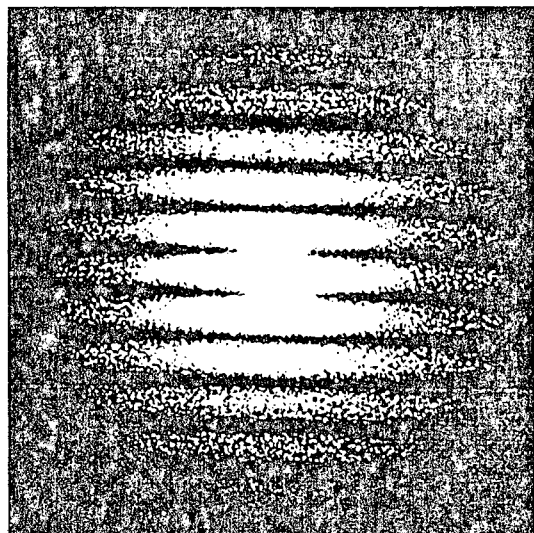


Photo 1. Young's fringe.

3. 画像収録 System^{4) 5)}

画像解析을 위해 機器構成을 fig-2에 표시한다.

종래에는 prism을 이용하고 screen 위에 young's fringe를 차례로 회전시키며 TV camera⁶⁾나 一次元 image sensor⁷⁾로 収録하여 解析하는 方法이 報告되어 있지만 이러한 方法으로는 機械的인 補助장치를 必要로하고 収録時間도 길어서 汎用性이 부족하다.

이것에 対하여 本 system의 特징은 目視 또는

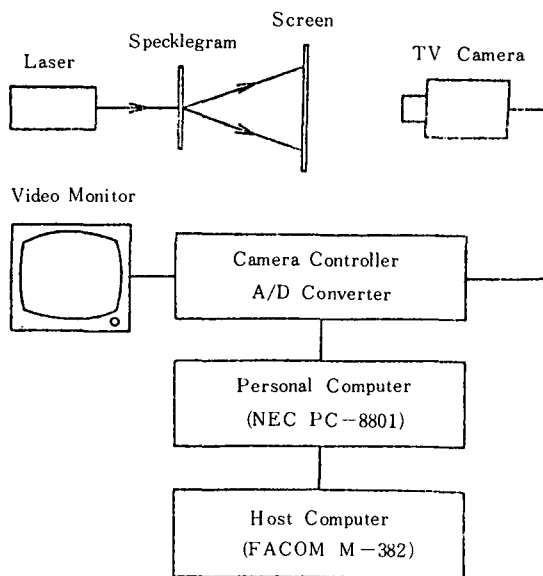


Fig. 2. Image processing system

写真 대신에 TV camera를 利用하여 screen 위의 young's fringe를 그대로 二次元画像 data로 하여 収錄하고 計算機處理로부터 变位量과 함께 变位方向도 一括하여 求하는 点도 있고 더 없이一般的인 方法도 있다.

画像을 personal computer에 収錄하기 위하여 구체적인 장치 및 절차는 이하와 같다. 半透明의 screen 상에 생기는 young's fringe를 computer用 camera로 摄影하고 일어진 analog data는 camera unit로 보내어져 A/D 变換되고 parallel I/O interface를 通して personal computer (NEC製, PC-8801)로 轉送된다. 이 system에는 1画面에 대하여 縦, 橫 동시에 256, 512, 1024 画素의 어느것을 選択할 수 있지만 後에 나타내 보이는 適用例에는 解像度를 그다지 높일 필요는 없다. 또 處理速度의 面으로부터도 有利하므로 256×256 画素의 解像度를 利用했다. 그런데도 画像 data는 각 画素당 6 bit, 64階調의 digital data도 상당히 크고 좌右변환등의 後處理를 Facom으로 행하는데 處理에 要하는 時間 등의 面으로 問題가 있다. 그레

서 프로파디스크를 中間媒體로하여 画像 data를 大型計算機 center 위의 data set로 变換하여 그후 解析을 行한다. 역시 大型計算機에 data를 轉送하는 다른 方法으로하여 Facom을 intelligent 瑞末로 하여 使用하고 TSS 아래서의 file 轉送에 의한 方法도 생각되지만 多点의 測定에는 轉送에 必要한 時間이一般的으로 길게된다.

4. 画像解析法

Young's fringe의 方向이 变位方向과 直交하고 fringe 間隔이 变位量에 反比例하는 것으로부터 变位方向과 크기가 결정된다. 그런데 二次元画像 data로 하고 収錄된 young's fringe를 輝度를 垂直軸으로 잡고 二次元表示된 例가 fig-3이다.

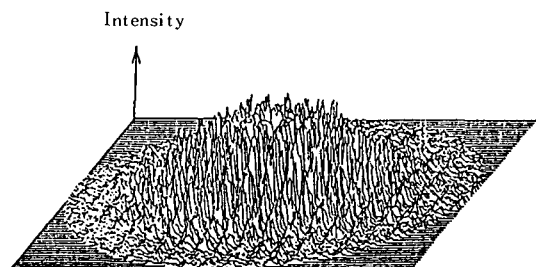


Fig. 3. Three-dimensional display of young's fringe collection by image data

이것을 보면 等間隔直線狀의 young's fringe에 speckle noise가 중첩하여 存在하고 있는 것을 알 수 있다. 이것은 fig-4(a)에 나타낸 것처럼 fringe에 直交하는 전체의 走査線에 따른 輝度分布를 求해보면 보다 정확하며 이 noise는 speckle gram自體가 扩散板에 作用을 하 고 回折界의 speckle을 發生하기 위함이다.

그래서 fringe에 平行한 方向에 輝度를 반복, 합하여 平均化處理를 하고 random한 noise成分을 제거한 것이 fig-4(b)이다.

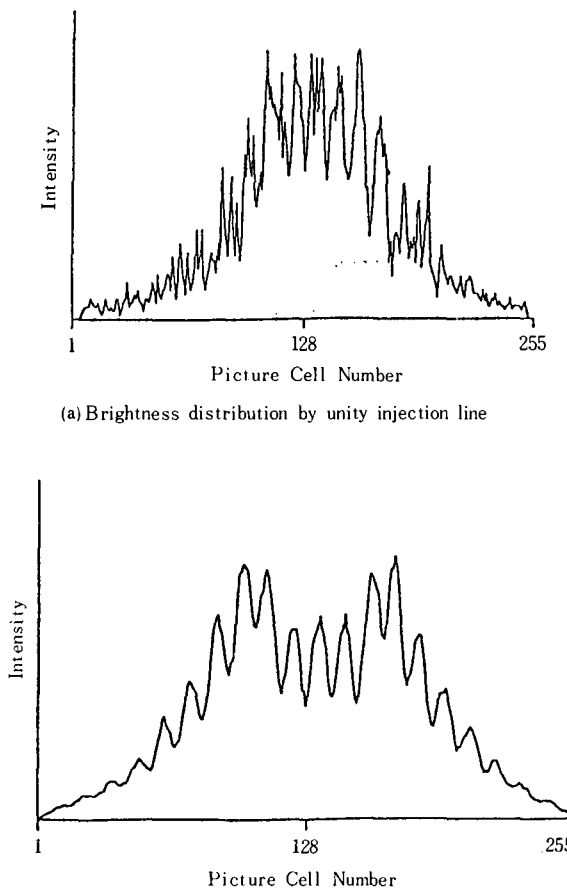


Fig 4. Brightness distribution of Young's fringe

이와같은 data에 의하면 容易하게 fringe 間隔을 발견할 수가 있다. 具體的으로는 大型計算機에 보내어진 画像 data에서부터 以下같이 求한다.

4-1 變位方向의 解析

Fig 5에 나타낸 것처럼 speckle gram上에 X軸, Y軸을 잡는다. 이fig에서는 Laser beam을 照射된 speckle gram上의 点에 对応하는 物體面上의 点의 變位量과 變位方向이 X軸과 이룬 解度 θ 와의 說明의 便宜上 speckle

gram 上에 거듭표시하고 있다. 또 fig표시 처럼 screen 上에 發生된 young's fringe의 方向은 θ 方向과 直交한다.

Speckle gram上에서 beam을 走査함에 따르는 θ 즉 screen 上의 fringe의 方向은一般的으로 變化하고 X, Y 方向에는 一致하지 않는다. 그런데 画像 data는 各 画素에 있어서 離散化된 輝度情報가 二次元配列 $1NT(i, j)$ 에 収納되어지게 된다. i, j 는 각각 X, Y에 对応하는 line 혹은 画素이다.

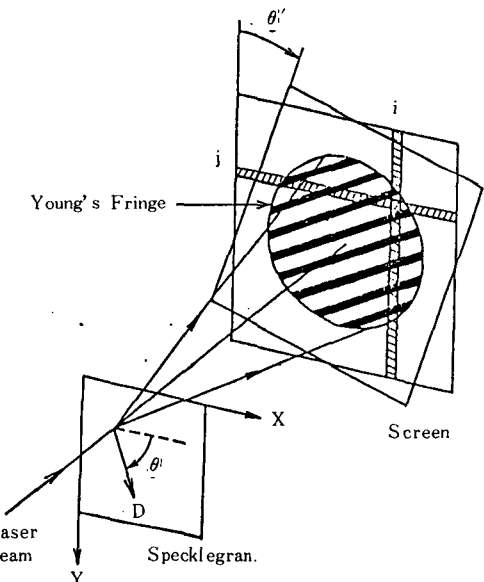


Fig 5. Coordinate system

여기서 young's fringe 즉 画像은 움직이지 않고 fig에 나타낸 것처럼 座標系를 中央의 点($i = 128, j = 128$)의 부근에 θ' 만 回轉된 配列을 $1NT'(i^1, j^1)$ 라고 하면 이때 다음의 関係가 成立한다.

$$\begin{pmatrix} i^1 \\ j^1 \end{pmatrix} = \begin{bmatrix} \cos\theta' & \sin\theta' \\ -\sin\theta' & \cos\theta' \end{bmatrix} \begin{pmatrix} i - 128 \\ j - 128 \end{pmatrix} + \begin{pmatrix} 128 \\ 128 \end{pmatrix} \quad \dots \dots \dots (4)$$

이 θ' 가 정확히 θ 와 동일하다고 할때에 i' 方向이 young's fringe에 垂直한 方向이다.

이때 一次元配列

$$\text{INTSUM}(i') = \sum_{j=1}^{255} \text{INT}'(i', j') \dots \dots \dots (5)$$

은 fringe에 平行한 方向의 画素에 對하여 輝度를 반복해서 합하게 되면 이때 다음式으로 定義되는 contrast評価量은 最大直를 갖는다.

$$C = \sum_{i'=1}^{254} \{ \text{INTSUM}(i'+1) - \text{INTSUM}(i') \}^2 \dots \dots \dots (6)$$

그러므로 C는 最大로되는 θ' 로부터 變位方向을 구한다.

4-2 變位量의 解析

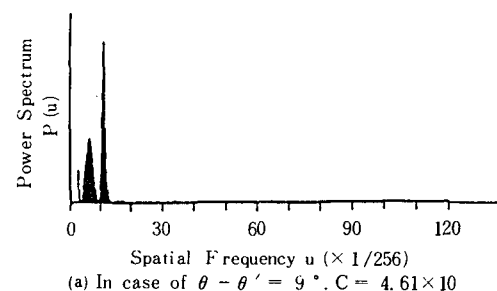
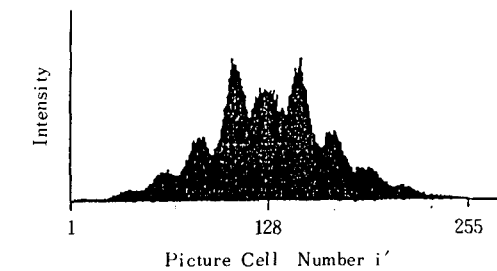
앞에 記述된 young's fringe와 平行인 方向에 平均化된 輝度分布 INTSUM(i')는 이미 거듭 합하여 平均化함에 speckle noise가 상당히除去되지만 實際에는 또 speckle noise의 중첩에 의한 영향이 남는다. 그러므로 이것을 제거하고 週期成分으로 어느 young's fringe의 fringe 間隔을 구하기 위하여 平均輝度分布 INTSUM(i')의 power-spectrum P(u)를 FFT法으로 부터 求하게 된다. 이 power-spectrum은 fringe 間隔에 對応하는 明確한 peak를 가지고 그 空間周波数 up로부터 収錄 data의 画素上에의 fringe 間隔F'가 $F' = 1/up$ (單位: 画素)로하고 求한다. 實際의 fringe 間隔F는 이미 알고있는 길이d의 物體를 摄影하고 對応하는 画素数N을 測定하여 求한 scale factor S = d/N (單位: mm/画素)을 F'에 곱하는 것으로 구한다. F가 구해지면 (3)式으로부터 變位量 D가 얻어진다.

5. 測定例

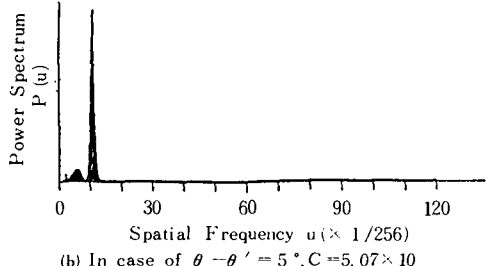
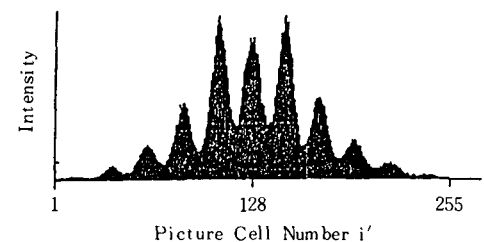
5-1 剛體移動变位의 測定

平板을 試驗片으로 하고 光軸과 直交하는 方向

에 micrometer 付의 微動裝置에 剛體移動变位 $40\mu\text{m}$ 높때의 young's fringe를 画像解析했다. 얻어진 平均輝度分布 INTSUM(i')와 power-spectrum P(u)의 分布를 fig 6-(a)~(c)에 표시한다. (a)는 $\theta - \theta' = \rho$, 즉 座標系를 回轉된 角度와 變位方向과의 사이에 ρ° 의 엇갈림이 있는 경우이며 (c)는 $\theta - \theta' = 0^\circ$ 에서는兩者가 一致된 경우이다.



(a) In case of $\theta - \theta' = 9^\circ$. $C = 4.61 \times 10$



(b) In case of $\theta - \theta' = 5^\circ$. $C = 5.07 \times 10$

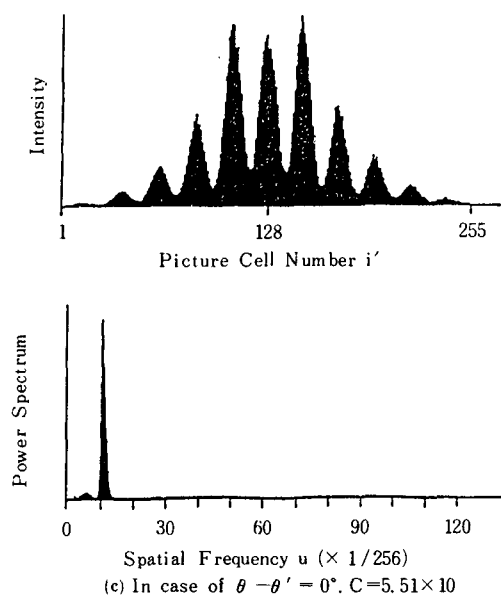


Fig. 6. Brightness distribution and power spectrum of Young's fringe in rigid body movement displacement

(a)로부터 (c)로 향한만큼 平均輝度分布는 明瞭하게 凹凸을 나타내어 contrast 評価量 C 의 값을 증가한다. 더욱이 power-spectrum은 fringe 間隔에 対応된 곳에서 예민한 첫동작을 나타내고 精度 좋은 fringe 間隔을 测定하는 것을 알았다.

5-2 剛體回転変位의 测定

光軸에 平行한 軸 주위에 回轉할 수 있는 供試體를 하고 利用하여 微動裝置에 의하여 剛體回轉变位를 준다. 이경우는 円板의 中心 으로부터 어느 半徑方向에 走查하여도 回轉角에 따른一定의 变位分配가 있다.

Fig-7은 3.3 mrad의 剛體回轉变位 준 경우의 young's fringe를 画像解析하는것과 同시에 目視測定도 행한 兩者的 比較를 行한 結果이다. 测定結果의 偶然誤差상태로부터 보면 画像解析의 쪽이 目視測定보다 精度가 좋다. 特

히 fringe 間隔이 적다. 즉 变位가 큰 경우에도 좋은 精度로 测定가능한 것을 알수 있다. 이러한 것은 画像解析에 있어서는 識別可能한 fringe 間隔이 작다. 그려므로 测定可能한 变位上限이 目視의 경우보다 크다는 것을 意味하고 있다.

变位 $158.1\mu\text{m}$ 의 경우에서의 平均輝度分布와 power-spectrum으로부터 容易하게 fringe 間隔을 求하는 것이 가능하다는 것을 알수 있다. 그런데 一般的으로 变位方向은 未知이므로 0° 로부터 180° 에 이르기까지 순서대로 θ' 의 값을 變化 시켜서 (6)式 C 의 값을 求하여 그最大值를 주는 θ' 값으로하고 θ 의 값을 알아낸다. fig-9는 剛體回轉円板의 두점의 young's fringe에 대하여 0.1° 쪽으로 이것을 행한 例이다. 变位가 큰 경우의 쪽이 C 의 分布에 있어서 peak 幅이 좁게되어 变位方向의 测定도 容易하다는 것을 알았다.

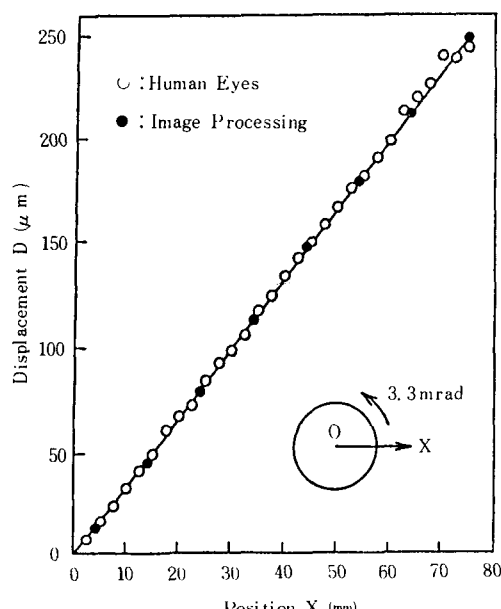


Fig. 7. Comparison of measurement result of rigid body gyration displacement by image processing and human eyes

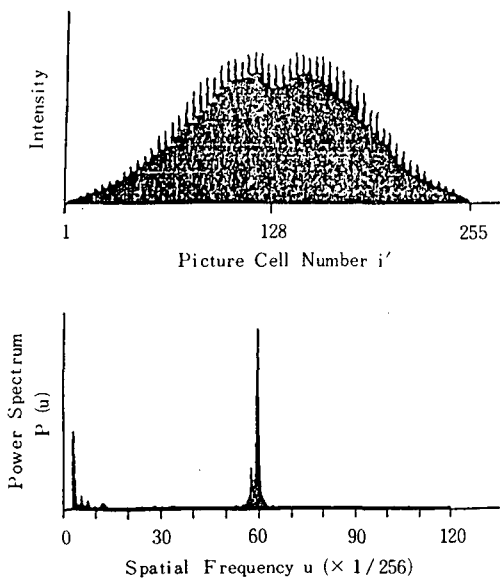


Fig 8. Brightness distribution of Young's fringe and power spectrum in case that displacement is comparatively long

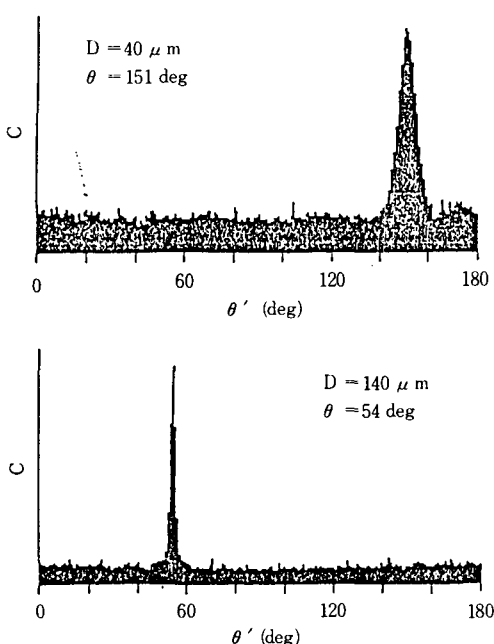


Fig 9. Variation by coordinate revolution angle in evalution amount of Young's fringe contrast

6. 結 論

TV camera와 personal computer를 이용하여 young's fringe를 즉시 二次元画像data로 하여 収録하고 大型計算機로 画像解析 하는方法을 開發했다. 이 方法은 fringe와 平行한 方向으로 平均化된 輝度分布의 power-spectrum 으로부터 fringe間隔을 測定하기 위해 종래의 目視에 의한 方法과 比較하여, 精度나 測定可能한 變位의 上限에 있어서 우수하며 特히 大變位의 경우에서도 높은 精度로 測定이 가능하다. 또 變位方向에 있어서도 精度가 좋고 容易하게 測定 가능하다는 것이 명확하게 되었다. 画像解析에 있어서 数值計算은 九州大学 大型計算機 Center의 FADOM, M-382를 이용하여 연구했던 것을 첨가하여 적는다

7. 參考文獻

- 1) 角誠之助：構造強度解析におけるレーザの応用，日本航空宇宙学会誌，第25券，第281号（1977），pp. 259～268.
- 2) 角誠之助：構造と材料強度のレーザ応用計測，日本機械学會誌 第82券 第733号（1979），pp. 1320～1325
- 3) R. K. Erf : Application of Laser Speckle to Measurement, Laser Application vol. 4, Academic Press (1980)
- 4) 角誠之助, 今城昭彦：画像解析システムを用いたスプツクル・ホトダフイによる熱変形測定，日本航空宇宙学会西部支部講演会講演集（1983），pp. 25～28.
- 5) 角誠之助, 今城昭彦, 井藤俊吾：画像解析システムを用いたスプツクル・ホトグラフィによる高温下の変形測定, 非破壊検査（昭和58年度秋季大会講演概要），第32券，第

9号(1983), pp. 804~805

- 6) B. Ineichen, P. Eglin and R. Dandliker :

Hybrid Optical and Electronic Image
Processing for strain Measurement by
Speckle Photography. Appl. Optics, Vol.

19, No.13 (1980). pp. 2191~2195

- 7) 山口一郎：スペックル写真的自動解析装置の開発と応用、第15回応力、ひずみ測定シンポジウム講演集(1982). pp. 37~40.